



Laboratorium EMVO Sp. J. Urbański, Pawelak
ul. Jasna 1
00-013 Warszawa

tel. +48 22 780 29 64
e-mail: laboratorium@emvo.pl



AB 1630

Sprawozdanie z pomiarów pól elektromagnetycznych - środowisko ogólne nr 14/04/OŚ/2022– P4-W



Nr i nazwa stacji	LUB1053B	
Adres	Lublin, Krzemionki 7, pow. Lublin, woj. lubelskie	
Opracowanie	[REDACTED]	Specjalista ds. pomiarów
Autoryzacja	[REDACTED]	Kierownik Laboratorium
Podpis	Podpis jest prawidłowy Dokument podpisany przez [REDACTED] Data: 2022.04.07 07:40:22 CEST Powód: Zatwierdzam dokument	
Data	2022-04-06	

Spis treści

1. Informacje ogólne.....	3
2. Podstawa prawna.	3
3. Opis pomiarów.....	4
4. Zróżnicowanie dopuszczalne poziomy pól elektromagnetycznych.....	5
5. Charakterystyka źródeł PEM.....	5
6. Wyniki pomiarów.....	5
7. Stwierdzenie zgodności	8
8. Oświadczenie.....	9
9. Spis załączników.	9

1. Informacje ogólne.

Zleceniodawca	P4 sp. z o.o., ul. Wynałazek 1, 02-677 Warszawa osoba udzielająca informacji- [REDAKTOWANE]
Istotne informacje dostarczone przez klienta	komplet informacji niezbędnych do wykonania pomiarów i opracowania sprawozdania
Dane otrzymane od klienta mogące mieć wpływ na ważność wyników	Dane anten sektorowych, dane anten radioliniowych, parametry pracy instalacji, poprawka pomiarowa, ustawienie pochylenia anten
Prowadzący instalację	P4 sp. z o.o., ul. Wynałazek 1, 02-677 Warszawa
Lokalizacja obiektu	Lublin, Krzemionki 7, pow. Lublin, woj. lubelskie
Miejsce instalacji anten	Dach budynku
Miejsce instalacji urządzeń	Outdoor
Osoby wykonujące pomiar	[REDAKTOWANE]
Data wykonania pomiaru	06.04.2022
Temperatura na początku pomiaru [°C]	8,0
Temperatura na koniec pomiaru [°C]	10,0
Warunki atmosferyczne	Brak opadów
Wilgotność na początku pomiaru [%]	85,0
Wilgotność na koniec pomiaru [%]	85,0
Godzina na początku pomiaru	11:22
Godzina na koniec pomiaru	13:06
Inne źródła pól elektromagnetycznych oznaczone na załączniku graficznym	Nie występują
Parametry pracy instalacji	Rzeczywisty

2. Podstawa prawna.

2.1 Normy i rozporządzenia:

- Rozporządzeniem Ministra Klimatu z dnia 17 lutego 2020 r. w sprawie sposobów sprawdzania dotrzymania dopuszczalnych poziomów pól elektromagnetycznych w środowisku (Dz.U. 2020 poz. 258)
- Rozporządzenie Ministra Zdrowia z dnia 17 grudnia 2019 r. w sprawie dopuszczalnych poziomów pól elektromagnetycznych w środowisku (Dz.U. 2019 poz. 2448)
- Obwieszczenie Marszałka Sejmu Rzeczypospolitej Polskiej z dnia 19 lipca 2019 r. w sprawie ogłoszenia jednolitego tekstu ustawy - Prawo ochrony środowiska (Dz.U. 2019 poz. 1396).

3. Opis pomiarów

Metodologia pomiarowa	Pomiary w oparciu o Rozporządzeniem Ministra Klimatu z dnia 17 lutego 2020 r. w sprawie sposobów sprawdzania dotrzymania dopuszczalnych poziomów pól elektromagnetycznych w środowisku (Dz.U. 2020 poz. 258).
Cel badań	Określenie wartości natężenia pola elektrycznego w miejscach dostępnych dla ludności.
Opis zestawu pomiarowego	Miernik Narda NBM 520, Sonda EF 9091, o zakresie pomiarowym 0,7 V/m - 300V/m pracująca w paśmie 0,1 – 90 GHz, świadectwo wydane przez Laboratorium Wzorców i Metrologii Pola Elektromagnetycznego, Instytut Telekomunikacji, Teleinformatyki i Akustyki Politechniki Wrocławskiej. Świadectwo ważne do 07.07.2023. Miernik Narda NBM 520, Sonda EF 9091 pracująca w zakresie temperatury -10°C - +50°C oraz wilgotności 5% - 95%. Niepewność rozszerzona wynosi 57,4% przy poziomie ufności 95% z uwzględnieniem współczynnika rozszerzenia k=2.
Wyposażenie pomocnicze	Termohigrometr Termoprodukt, typ: Termik+, nr identyfikacyjny 700618, świadectwo wzorcowania nr 1763/AH/19 z dn. 29.07.2019 r. wydane przez Laboratorium Pomiarowe "MUTECH". Przymiar wstęgowy STABILA, nr identyfikacyjny 31WL, świadectwo wzorcowania nr 6W1/1826/19 z dn. 02.08.2019 r. wydane przez Dyrektora Okręgowego Urzędu Miar w Gdańsku. GPS Garmin 64s okresowo sprawdzany w punktach osnowy geodezyjnej klasy 3 na podstawie licencji punktu, zgodnie z procedurą sprawdzeń okresowych IS/PO16-11/03.
Pomiary zostały wykonane	<ol style="list-style-type: none">1. na głównych i pomocniczych kierunkach pomiarowych, na kierunkach zbliżonych do azymutów anten oraz w dodatkowych pionach pomiarowych zgodnie z wymaganiami pkt 12, 13, 14 i 19 załącznika do rozporządzenia Ministra Klimatu z dnia 17 lutego 2020 r. (Dz. U. 2020, poz. 258),2. na obszarze pomiarowym, dla którego, na podstawie uprzednio wykonanych obliczeń uzyskanych od zleceniodawcy, stwierdzono możliwość występowania pól elektromagnetycznych o poziomach zbliżonych do poziomów dopuszczalnych zgodnie z wymaganiami pkt 5 ppkt 2 oraz pkt 13 ppkt 1 załącznika do rozporządzenia Ministra Klimatu z dnia 17 lutego 2020 r. (Dz. U. 2020, poz. 258). Wyniki obliczeń nie uwzględniały parametrów pracy instalacji innych operatorów występujących na obiekcie bądź w obszarze pomiarowym.3. w miejscach dostępnych dla ludności.4. miejsca niedostępne podczas wykonywania pomiarów wskazane zostały w pkt 6 (tabeli wyniki pomiarów)5. wyniki pomiarów uzyskane zostały przy uwzględnieniu poprawek pomiarowych przekazanych przez zleceniodawcę oraz przy rzeczywistych warunkach pracy instalacji innych operatorów (w przypadku występowania). W takiej sytuacji uwzględniono jednolitą poprawkę pomiarową wynoszącą 1,7.
Szczególne warunki podczas wykonywania pomiarów	Pomiary wykonane zostały podczas obowiązywania w kraju stanu epidemii, zgodnie z art. 122a ust. 1b Ustawy z dnia 27 kwietnia 2001 r. – Prawo ochrony środowiska (Dz. U. z 2019 r. poz. 1396, z późn. zm.9))
Warunki pracy urzędzeń nadawczych	Podczas pomiarów zostały uwzględnione poprawki pomiarowe przekazane przez zleceniodawcę, umożliwiające uwzględnienie maksymalnych parametrów pracy instalacji zgodnie z pkt 7 załącznika do Rozporządzeniem Ministra Klimatu z dnia

4. Zróznicowanie dopuszczalne poziomy pól elektromagnetycznych.

Zakresy znajdują się w Dzienniku Ustaw z dnia 17 grudnia 2019 r. przestawione są w tabeli nr 2 (Dz. U. z 2019r. poz. 2448).

Parametr fizyczny Zakres Częstotliwości pola elektromagnetycznego	Składowa elektryczna E (V/m)	Składowa magnetyczna H (A/m)	Gęstość mocy S (W/m ²)
od 400 MHz do 2000 MHz	$1,375 \times f^{0,5}$	$0,0037 \times f^{0,5}$	f / 200
od 2 GHz do 300 GHz	61	0,16	10

5. Charakterystyka źródeł PEM.

Zgodnie z informacją otrzymaną od Klienta pomiary zostały wykonane przy ustawieniach pochylenia anten zgodnych z pkt. 13, ppkt 2 załącznika do rozporządzenia Ministra Klimatu z dnia 17 lutego 2020 roku.

Tabela 1. Anteny sektorowe - dane otrzymane od klienta

Charakterystyka promieniowania		kierunkowa							
Rzeczywisty czas pracy [h/dobę]		24							
Rodzaj wytwarzanego pola		stacjonarne							
Lp	Wyszczególnienie	sektor 1				sektor 2			
I	Nadajnik stacji bazowej:								
1	Typ / Producent	RBS / SRAN Ericsson							
2	Częstotliwość (pasmo) MHz	900	800	2600	2100	1800	2600	2100	1800
3	Maksymalna moc nadawana na sektor [dBm]	44,8	43,01	48,2	46,5	46,5	48,2	46,5	46,5
II	Obciążenie:								
1	Typ anteny	Huawei ADU4515R5		Huawei AMB4519R6			Huawei AMB4519R6		
2	Producent anteny	Huawei		Huawei			Huawei		
3	Ilość anten	1		1			1		
4	Azymut	0		31					
5	Zakres kątów pochylenia anten [°]	0-14		2-4					
6	Wysokość zainst. n.p.t. [m]	19,80		19,45					
7	EIRP [W]	1297		9954			9954		

Charakterystyka promieniowania		kierunkowa									
Rzeczywisty czas pracy [h/dobę]		24									
Rodzaj wytwarzanego pola		stacjonarne									
Lp	Wyszczególnienie	sektor 3					sektor 4				
I Nadajnik stacji bazowej:											
1	Typ / Producent	RBS / SRAN Ericsson									
2	Częstotliwość (pasmo) MHz	2600	900	2100	1800	800	900	800	2600	2100	1800
3	Maksymalna moc nadawana na sektor [dBm]	52,04	44,8	49,91	49,91	43,01	44,8	46,02	52,04	50,11	50,11
II Obciążenie:											
1	Typ anteny	Huawei ATR4518R6		Huawei ATR4518R6		Huawei ADU4515R5		Huawei ADU4518R6		Huawei ADU4518R6	
2	Producent anteny	Huawei		Huawei		Huawei		Huawei		Huawei	
3	Ilość anten	1		1		1		1		1	
4	Azymut	155					260				
5	Zakres kątów pochyleń anten [°]	0-4					0-14	0-14	0-4	0-4	0-4
6	Wysokość zainst. n.p.t. [m]	19,45					19,80				
7	EIRP [W]	9961		9951		1796		8780		9882	

Charakterystyka promieniowania		kierunkowa					
Rzeczywisty czas pracy [h/dobę]		24					
Rodzaj wytwarzanego pola		stacjonarne					
Lp	Wyszczególnienie	sektor 5					
I Nadajnik stacji bazowej:							
1	Typ / Producent	RBS / SRAN Ericsson					
2	Częstotliwość (pasmo) MHz	2600	2100	1800	2600	2100	1800
3	Maksymalna moc nadawana na sektor [dBm]	48,2	46,5	46,5	48,2	46,5	46,5
II Obciążenie:							
1	Typ anteny	Huawei AMB4519R6			Huawei AMB4519R6		
2	Producent anteny	Huawei			Huawei		
3	Ilość anten	1			1		
4	Azymut	329					
5	Zakres kątów pochyleń anten [°]	2-4					
6	Wysokość zainst. n.p.t. [m]	19,45					
7	EIRP [W]	9954			9954		

Tabela 2. Anteny radioliniowe- dane otrzymane od klienta

Charakterystyka promieniowania				kierunkowa			
Rzeczywisty czas pracy [h/dobę]				24			
Rodzaj wytwarzanego pola				stacjonarne			
Lp	Linia radiowa			Antena			
	typ/producent	częstotliwość pracy [GHz]	moc wyjściowa [dBm]	typ/producent	średnica anteny [m]	azymut [°]	wysokość zainstal. [m]
1	OPTIX RTN/HUAWEI	80	18	VHLP1-80/Andrew	0,3	353	23,00

„Bez pisemnej zgody Laboratorium niniejsze sprawozdanie nie może być powielane inaczej, jak tylko w całości. Ponadto wyniki dotyczą tylko badanych obiektów przywołanych w niniejszym sprawozdaniu z badań”

6. Wyniki pomiarów.

Wyniki pomiarów pól elektromagnetycznych dla celów ochrony środowiska przedstawia poniższa tabela. Piony pomiarowe zostały przedstawione w zał. 2.

Nr PP	Pole-E [V/m]	Pole-E *kE, +U [V/m]	Pole-H [A/m]	Pole-H *kE +U [A/m]	Wys. pomiaru [m]	Opis pionu	Uwagi	WM _E	WM _H
1	1,2	3,21	0,003	0,009	0,3-2,0	N:51°14'25.2" E:22°35'24.4"	otoczenie stacji bazowej - 50m wzdłuż gł. osi promieniowania - GKP	0,115	0,117
2	1,1	2,94	0,003	0,008	0,3-2,0	N:51°14'26.7" E:22°35'24.6"	otoczenie stacji bazowej - 100m wzdłuż gł. osi promieniowania - GKP	0,105	0,107
3	0,9	2,41	0,002	0,006	0,3-2,0	N:51°14'28.4" E:22°35'24.7"	otoczenie stacji bazowej - 150m wzdłuż gł. osi promieniowania - GKP	0,086	0,088
4	0,9	2,41	0,002	0,006	0,3-2,0	N:51°14'29.7" E:22°35'24.7"	otoczenie stacji bazowej - 198m wzdłuż gł. osi promieniowania - GKP	0,086	0,088
5	1,2	3,21	0,003	0,009	0,3-2,0	N:51°14'24.9" E:22°35'25.8"	otoczenie stacji bazowej - 50m wzdłuż gł. osi promieniowania - GKP	0,115	0,117
6	1,1	2,94	0,003	0,008	0,3-2,0	N:51°14'26.3" E:22°35'27.2"	otoczenie stacji bazowej - 100m wzdłuż gł. osi promieniowania - GKP	0,105	0,107
7	0,8	2,14	0,002	0,006	0,3-2,0	N:51°14'27.5" E:22°35'28.6"	otoczenie stacji bazowej - 150m wzdłuż gł. osi promieniowania - GKP	0,076	0,078
8	0,7*	2,14	0,002	0,006	0,3-2,0	N:51°14'28.6" E:22°35'29.8"	otoczenie stacji bazowej - 198m wzdłuż gł. osi promieniowania - GKP	0,076	0,078
9	1,2	3,21	0,003	0,009	0,3-2,0	N:51°14'21.9" E:22°35'25.1"	otoczenie stacji bazowej - 50m wzdłuż gł. osi promieniowania - GKP	0,115	0,117
10	1,2	3,21	0,003	0,009	0,3-2,0	N:51°14'20.4" E:22°35'26.2"	otoczenie stacji bazowej - 100m wzdłuż gł. osi promieniowania - GKP	0,115	0,117
11	1,0	2,68	0,003	0,007	0,3-2,0	N:51°14'18.9" E:22°35'27.2"	otoczenie stacji bazowej - 150m wzdłuż gł. osi promieniowania - GKP	0,096	0,097
12	1,1	2,94	0,003	0,008	0,3-2,0	N:51°14'17.6" E:22°35'28.1"	otoczenie stacji bazowej - 198m wzdłuż gł. osi promieniowania - GKP	0,105	0,107
13	1,4	3,75	0,004	0,010	0,3-2,0	N:51°14'23.2" E:22°35'21.5"	otoczenie stacji bazowej - 50m wzdłuż gł. osi promieniowania - GKP	0,134	0,136
14	1,4	3,75	0,004	0,010	0,3-2,0	N:51°14'22.9" E:22°35'18.8"	otoczenie stacji bazowej - 100m wzdłuż gł. osi promieniowania - GKP	0,134	0,136
15	0,9	2,41	0,002	0,006	0,3-2,0	N:51°14'22.7" E:22°35'16.4"	otoczenie stacji bazowej - 150m wzdłuż gł. osi promieniowania - GKP	0,086	0,088
16	0,8	2,14	0,002	0,006	0,3-2,0	N:51°14'22.5" E:22°35'14.5"	otoczenie stacji bazowej - 198m wzdłuż gł. osi promieniowania - GKP	0,076	0,078
17	1,1	2,94	0,003	0,008	0,3-2,0	N:51°14'24.9" E:22°35'22.9"	otoczenie stacji bazowej - 50m wzdłuż gł. osi promieniowania - GKP	0,105	0,107
18	1,0	2,68	0,003	0,007	0,3-2,0	N:51°14'27.8" E:22°35'20.6"	otoczenie stacji bazowej - 150m wzdłuż gł. osi promieniowania - GKP	0,096	0,097
19	1,1	2,94	0,003	0,008	0,3-2,0	N:51°14'28.8" E:22°35'19.7"	otoczenie stacji bazowej - 198m wzdłuż gł. osi promieniowania - GKP	0,105	0,107
20	0,9	2,41	0,002	0,006	0,3-2,0	N:51°14'26.7" E:22°35'24.1"	otoczenie stacji bazowej - 100m wzdłuż gł. osi promieniowania - GKP	0,086	0,088
21	0,8	2,14	0,002	0,006	0,3-2,0	N:51°14'27.2" E:22°35'25.3"	otoczenie stacji bazowej - GKP	0,076	0,078
22	1,0	2,68	0,003	0,007	0,3-2,0	N:51°14'25.9" E:22°35'25.4"	otoczenie stacji bazowej - GKP	0,096	0,097
23	1,1	2,94	0,003	0,008	0,3-2,0	N:51°14'23.9" E:22°35'25.6"	otoczenie stacji bazowej - GKP	0,105	0,107
24	1,0	2,68	0,003	0,007	0,3-2,0	N:51°14'22.3" E:22°35'26.2"	otoczenie stacji bazowej - GKP	0,096	0,097
25	1,2	3,21	0,003	0,009	0,3-2,0	N:51°14'22.2" E:22°35'23.0"	otoczenie stacji bazowej - GKP	0,115	0,117
26	1,3	3,48	0,003	0,009	0,3-2,0	N:51°14'22.7" E:22°35'21.3"	otoczenie stacji bazowej - GKP	0,124	0,126
27	0,8	2,14	0,002	0,006	0,3-2,0	N:51°14'23.9" E:22°35'19.5"	otoczenie stacji bazowej - GKP	0,076	0,078
28	0,8	2,14	0,002	0,006	0,3-2,0	N:51°14'24.8" E:22°35'20.9"	otoczenie stacji bazowej - GKP	0,076	0,078

„Bez pisemnej zgody Laboratorium niniejsze sprawozdanie nie może być powielane inaczej, jak tylko w całości. Ponadto wyniki dotyczą tylko badanych obiektów przywołanych w niniejszym sprawozdaniu z badań”

A	1,2	3,21	0,003	0,009	0,3-2,0	N:51°14'23.4" E:22°35'24.7"	Krzemionki 7, pomiar przed budynkiem -DPP	0,115	0,117
B	1,1	2,94	0,003	0,008	0,3-2,0	N:51°14'22.9" E:22°35'26.6"	Krzemionki 10, pomiar przed budynkiem -DPP	0,105	0,107
C	1,0	2,68	0,003	0,007	0,3-2,0	N:51°14'23.9" E:22°35'26.4"	Krzemionki 8, pomiar przed budynkiem -DPP	0,096	0,097
D	1,1	2,94	0,003	0,008	0,3-2,0	N:51°14'23.3" E:22°35'27.5"	Krzemionki 8B, pomiar przed budynkiem -DPP	0,105	0,107
E	1,0	2,68	0,003	0,007	0,3-2,0	N:51°14'24.3" E:22°35'26.1"	Krzemionki 6A, pomiar przed budynkiem -DPP	0,096	0,097
F	1,0	2,68	0,003	0,007	0,3-2,0	N:51°14'27.5" E:22°35'24.3"	Budynek usługowo-handlowy, pomiar przed budynkiem -DPP	0,096	0,097
G	1,0	2,68	0,003	0,007	0,3-2,0	N:51°14'26.0" E:22°35'23.9"	Krzemionki 3, pomiar przed budynkiem -DPP	0,096	0,097
H	0,9	2,41	0,002	0,006	0,3-2,0	N:51°14'24.9" E:22°35'20.6"	Budynek usługowo-handlowy, pomiar przed budynkiem -DPP	0,086	0,088
I	1,2	3,21	0,003	0,009	0,3-2,0	N:51°14'22.5" E:22°35'20.8"	Magazyn, pomiar przed budynkiem -DPP	0,115	0,117
J	1,0	2,68	0,003	0,007	0,3-2,0	N:51°14'26.8" E:22°35'25.8"	Krzemionki 4, pomiar przed budynkiem -DPP	0,096	0,097
K	1,1	2,94	0,003	0,008	0,3-2,0	N:51°14'25.1" E:22°35'24.2"	Krzemionki 5a, pomiar przed budynkiem -DPP	0,105	0,107
L	1,2	3,21	0,003	0,009	0,3-2,0	N:51°14'21.9" E:22°35'23.0"	Krzemionki 9, pomiar przed budynkiem -DPP	0,115	0,117
M	0,9	2,41	0,002	0,006	0,3-2,0	N:51°14'28.7" E:22°35'24.7"	Budynek usługowo-handlowy, pomiar przed budynkiem -DPP	0,086	0,088
N	0,8	2,14	0,002	0,006	0,3-2,0	N:51°14'22.3" E:22°35'15.2"	Mieszcząńska 6, pomiar przed budynkiem -DPP	0,076	0,078

Wynik pomiaru pole - E [V/m] - maksymalna wartość chwilowa zmierzona w danym pionie pomiarowym (uśredniona na podstawie punktu 11 Załącznika do Rozporządzenia Ministra Zdrowia).

Przyjęto najniższą dopuszczalną wartość składowej elektrycznej pola dla objętego pomiarami zakresu częstotliwości $\min(ME_{gr})= 28 \text{ V/m}$ oraz składowej magnetycznej $\min(MH_{gr})= 0,073 \text{ A/m}$.

* - wartość zmierzona poniżej zakresu akredytacji. Do obliczeń przyjęto wartość zgodną z dolną granicą akredytowanego zakresu pomiarowego metody.

GKP - główne kierunki pomiarowe

PKP - pomocnicze kierunki pomiarowe

DPP - dodatkowe punkty pomiarowe

PP - pion pomiarowy

U - niepewność pomiarowa rozszerzona, przy poziomie ufności 95%, z uwzględnieniem współczynnika rozszerzenia $k=2$

kE - poprawka pomiarowa badanej instalacji radiokomunikacyjnej podana przez operatora ($kE=1,7$), poprawka pomiarowa w przypadku oddziaływania innych instalacji radiokomunikacyjnych na badany obszar ($kE=2,0$)

WM_E - wartość wskaźnikowa poziomu emisji pól elektromagnetycznych dla miejsc dostępnych dla ludności dla składowej elektrycznej pola

WM_H - wartość wskaźnikowa poziomu emisji pól elektromagnetycznych dla miejsc dostępnych dla ludności dla składowej magnetycznej pola

7. Stwierdzenie zgodności

Na podstawie wytycznych podanych w Rozporządzeniu Ministra Zdrowia z dnia 17 grudnia 2019 r. w sprawie dopuszczalnych poziomów pól elektromagnetycznych w środowisku (Dz.U. 2019 poz. 2448) oraz sposobów sprawdzania dotrzymania tych poziomów zgodnie z Rozporządzeniem Ministra Klimatu z dnia 17 lutego 2020 r. w sprawie sposobów sprawdzania dotrzymania dopuszczalnych poziomów pól elektromagnetycznych w środowisku (Dz.U. 2020 poz. 258) dotyczących źródła wymagań, które muszą być spełnione (załącznik do rozporządzenia Ministra Klimatu z dnia 17 lutego 2020 r. (poz. 258)), w oparciu o zasadę podejmowania decyzji zgodną z pkt 26 załącznika do rozporządzenia Ministra Klimatu z dnia 17 lutego 2020 r. (poz. 258), na podstawie wyników pomiarów pól elektromagnetycznych wykonanych w dniu 06.04.2022 stwierdzono, iż w miejscach dostępnych dla ludności, dopuszczalne poziomy pól elektromagnetycznych w środowisku, określone w przepisach wydanych na podstawie art. 122 ust. 1 ustawy z dnia 27 kwietnia 2001 r. – Prawo ochrony środowiska, uznaje się za dotrzymane w obszarze pomiarowym, w którym w wyniku zastosowania sposobu sprawdzenia dotrzymania

dopuszczalnych poziomów pól elektromagnetycznych w środowisku, udokumentowano, że żadna z wartości wskaźnikowych nie przekracza wartości 1.

8. Oświadczenie.

Wyniki badania odnoszą się wyłącznie do badanego obiektu.

Bez pisemnej zgody sprawozdanie nie może być powielane inaczej, jak tylko w całości.

Uwagi i zastrzeżenia przyjmowane są w formie pisemnej w ciągu 14 dni od daty otrzymania sprawozdania.

9. Spis załączników.

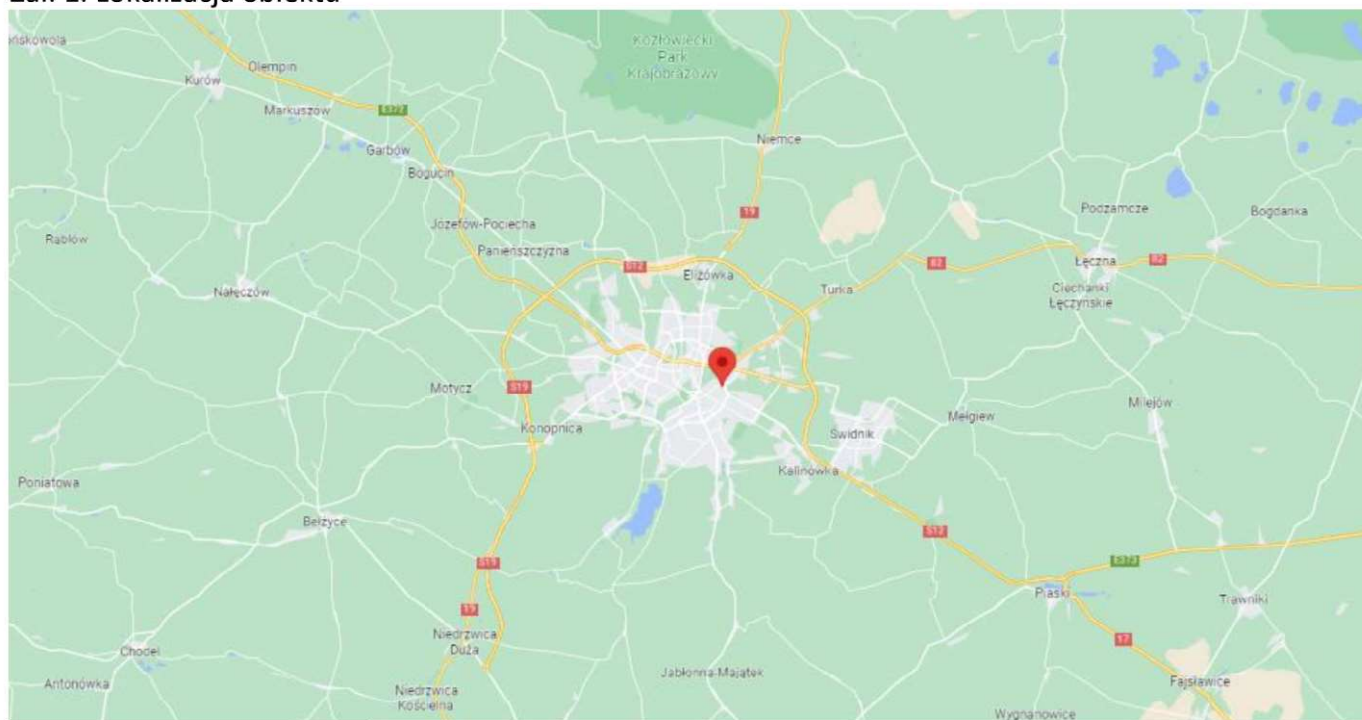
Zał. 1. Lokalizacja obiektu.

Zał. 2. Widok pionów pomiarowych

Zał. 3. Załączniki graficzne

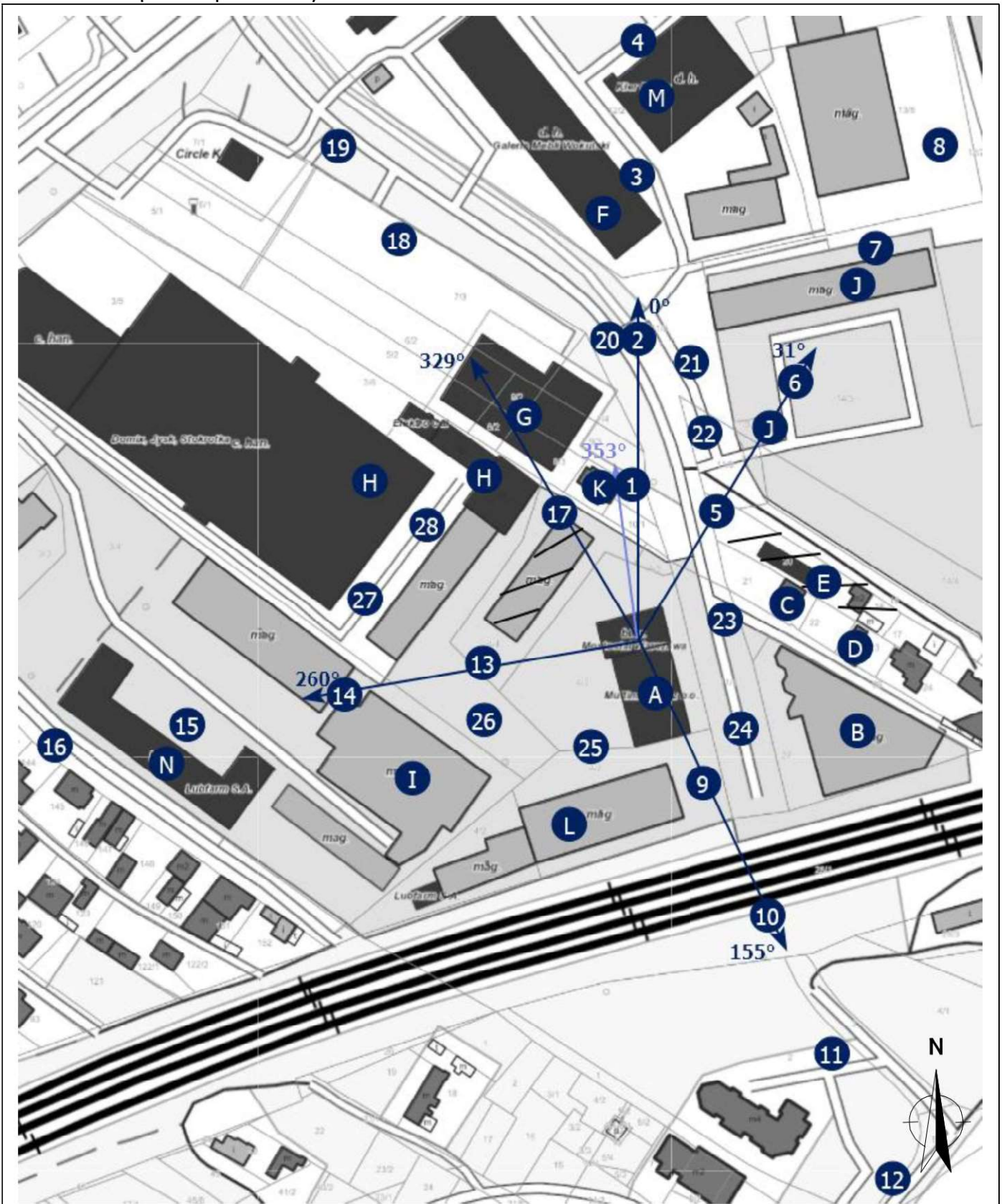
Koniec sprawozdania

Zał. 1. Lokalizacja obiektu



Współrzędne geograficzne	
długość:	22°35'24.29"E
szerokość:	51°14'23.46"N


Załącznik 2. Widok pionów pomiarowych



LEGENDA:

 inna instalacja radiokomunikacyjna

 brak dostępu

 pion pomiarowy z poprawką pomiarową (brak innych instalacji radiokomunikacyjnych)

Odległość, do której zostały wykonane pomiary mierząc od instalacji antenowej wynosi min.: 198 metrów.

 pion pomiarowy z poprawką pomiarową (w zasięgu innych instalacji radiokomunikacyjnych)

 antena sektorowa

 antena radioliniowa

Skala: 1:4200



„Bez pisemnej zgody Laboratorium niniejsze sprawozdanie nie może być powielane inaczej, jak tylko w całości. Ponadto wyniki dotyczą tylko badanych obiektów przywołanych w niniejszym sprawozdaniu z badań”

Zał. 3. Załączniki graficzne.

